

**Silizium-PIN-Fotodiode mit sehr kurzer Schaltzeit**

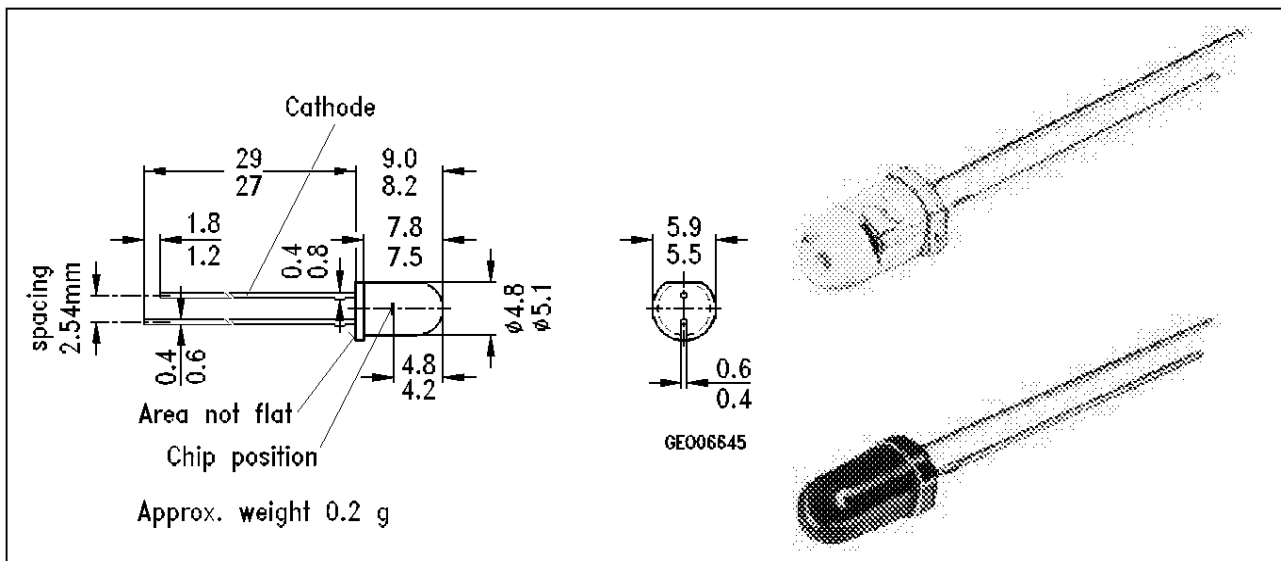
**SFH 2030**

**Silizium-PIN-Fotodiode mit Tageslichtsperrfilter**

**SFH 2030 F**

**Silicon PIN Photodiode with Very Short Switching Time**

**Silicon PIN Photodiode with Daylight Filter**



Maße in mm, wenn nicht anders angegeben/Dimensions in mm, unless otherwise specified.

#### Wesentliche Merkmale

- Speziell geeignet für Anwendungen im Bereich von 400 nm bis 1100 nm (SFH 2030) und bei 880 nm (SFH 2030 F)
- Kurze Schaltzeit (typ. 5 ns)
- 5 mm-Plastikbauförm im LED-Gehäuse
- Auch gegurtet lieferbar

#### Anwendungen

- Industrieelektronik
- "Messen/Steuern/Regeln"
- Schnelle Lichtschranken für Gleich- und Wechsellichtbetrieb
- LWL

#### Features

- Especially suitable for applications from 400 nm to 1100 nm (SFH 2030) and of 880 nm (SFH 2030 F)
- Short switching time (typ. 5 ns)
- 5 mm LED plastic package
- Also available on tape

#### Applications

- Industrial electronics
- For control and drive circuits
- Light-reflecting switches for steady and varying intensity
- Fiber optic transmission systems

Typ (*ab 4/95) Type (*as of 4/95)	Bestellnummer Ordering Code	Gehäuse Package
SFH 2030 (*SFH 203)	Q62702-P955	T1 <sup>3/4</sup> , klares bzw schwarzes Epoxy-Gießharz, Lötspieße im 2.54-mm-Raster (1/10), Kathodenkennzeichnung: kürzerer Lötspieß, flach am Gehäusebund
SFH 2030 F (*SFH 203 FA)	Q62702-P956	transparent and black epoxy resin, solder tab 2.54 mm (1/10) lead spacing, cathode marking: short solder tab, flat at package

**Grenzwerte**  
**Maximum Ratings**

Bezeichnung <b>Description</b>	Symbol <b>Symbol</b>	Wert <b>Value</b>	Einheit <b>Unit</b>
Betriebs- und Lagertemperatur Operating and storage temperature range	$T_{op}; T_{stg}$	-55 ... +100	°C
Löttemperatur (Lötstelle 2 mm vom Gehäuse entfernt bei Lötzeit $t \leq 3\text{s}$ ) Soldering temperature in 2 mm distance from case bottom ( $t \leq 3\text{s}$ )	$T_S$	300	°C
Sperrspannung Reverse voltage	$V_R$	50	V
Verlustleistung Total power dissipation	$P_{tot}$	100	mW

**Kennwerte ( $T_A = 25$  °C)**
**Characteristics**

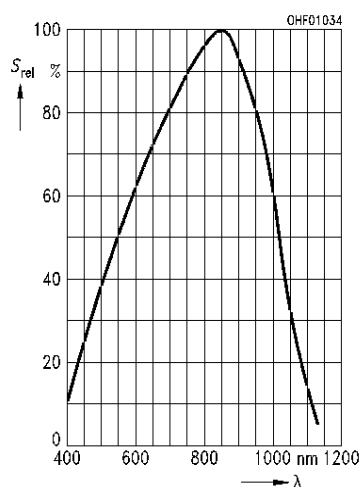
Bezeichnung <b>Description</b>	Symbol <b>Symbol</b>	Wert <b>Value</b>		Einheit <b>Unit</b>
		<b>SFH 2030</b>	<b>SFH 2030 F</b>	
Fotoempfindlichkeit Spectral sensitivity $V_R = 5$ V, Normlicht/standard light A, $T = 2856$ K, $V_R = 5$ V, $\lambda = 950$ nm, $E_e = 0.5$ mW/cm <sup>2</sup>	$S$	80 ( $\geq 50$ )	—	nA/lx
	$S$	—	25 ( $\geq 15$ )	μA
Wellenlänge der max. Fotoempfindlichkeit Wavelength of max. sensitivity	$\lambda_{S \max}$	850	900	nm
Spektraler Bereich der Fotoempfindlichkeit $S = 10\%$ von $S_{\max}$ Spectral range of sensitivity $S = 10\%$ of $S_{\max}$	$\lambda$	400 ... 1100	800 ... 1100	nm
Bestrahlungsempfindliche Fläche Radiant sensitive area	$A$	1	1	mm <sup>2</sup>
Abmessung der bestrahlungsempfindlichen Fläche Dimensions of radiant sensitive area	$L \times B$	1 x 1	1 x 1	mm
Abstand Chipoberfläche zu Gehäuseoberfläche Distance chip front to case surface	$H$	4.0 ... 4.6	4.0 ... 4.6	mm

Kennwerte ( $T_A = 25^\circ\text{C}$ )

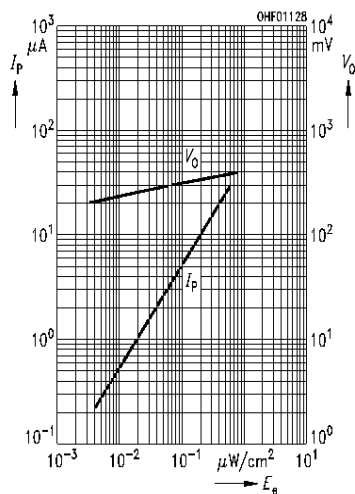
Characteristics

Bezeichnung Description	Symbol Symbol	Wert Value		Einheit Unit
		SFH 2030	SFH 2030 F	
Halbwinkel Half angle	$\phi$	$\pm 20$	$\pm 20$	Grad deg.
Dunkelstrom, $V_R = 20 \text{ V}$ Dark current	$I_R$	1 ( $\leq 5$ )	1 ( $\leq 5$ )	nA
Spektrale Fotoempfindlichkeit, $\lambda = 850 \text{ nm}$ Spectral sensitivity	$S_\lambda$	0.62	0.59	A/W
Quantenausbeute, $\lambda = 850 \text{ nm}$ Quantum yield	$\eta$	0.89	0.86	Electrons Photon
Leerlaufspannung Open-circuit voltage $E_V = 1000 \text{ lx}$ , Normlicht/standard light A, $T = 2856 \text{ K}$ $E_e = 0.5 \text{ mW/cm}^2$ , $\lambda = 950 \text{ nm}$	$V_L$	420 ( $\geq 350$ )	—	mV
Kurzschlußstrom Short-circuit current $E_V = 1000 \text{ lx}$ , Normlicht/standard light A, $T = 2856 \text{ K}$ $E_e = 0.5 \text{ mW/cm}^2$ , $\lambda = 950 \text{ nm}$	$I_K$	80	—	$\mu\text{A}$
Anstiegs und Abfallzeit des Fotostromes Rise and fall time of the photocurrent $R_L = 50 \text{ k}\Omega$ ; $V_R = 20 \text{ V}$ ; $\lambda = 850 \text{ nm}$ ; $I_p = 800 \mu\text{A}$	$t_r, t_f$	5	5	ns
Durchlaßspannung, $I_F = 80 \text{ mA}$ , $E = 0$ Forward voltage	$V_F$	1.3	1.3	V
Kapazität, $V_R = 0 \text{ V}$ , $f = 1 \text{ MHz}$ , $E = 0$ Capacitance	$C_0$	11	11	pF
Temperaturkoeffizient von $V_L$ Temperature coefficient of $V_L$	$TC_V$	-2.6	-2.6	mV/K
Temperaturkoeffizient von $I_K$ , Temperature coefficient of $I_K$ Normlicht/standard light A $\lambda = 950 \text{ nm}$	$TC_I$	0.18	— 0.2	%/K
Rauschäquivalente Strahlungsleistung Noise equivalent power $V_R = 10 \text{ V}$ , $\lambda = 850 \text{ nm}$	$NEP$	$2.9 \times 10^{-14}$	$2.9 \times 10^{-14}$	$\frac{\text{W}}{\sqrt{\text{Hz}}}$
Nachweigrenze, $V_R = 20 \text{ V}$ , $\lambda = 850 \text{ nm}$ Detection limit	$D^*$	$3.5 \times 10^{12}$	$3.5 \times 10^{12}$	$\frac{\text{cm} \cdot \sqrt{\text{Hz}}}{\text{W}}$

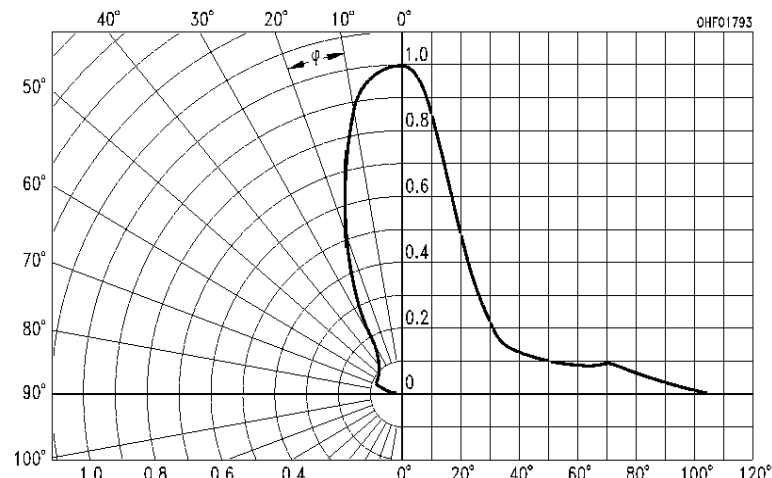
**Relative spectral sensitivity SFH 2030**  
 $S_{\text{rel}} = f(\lambda)$



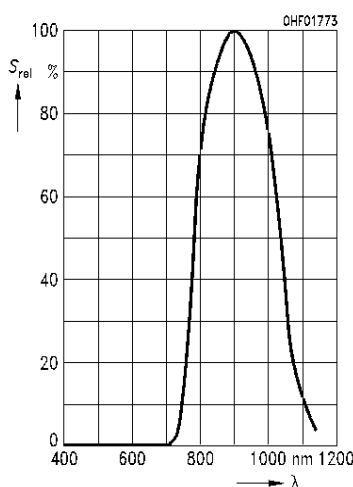
**Photocurrent  $I_P = f(E_e)$ ,  $V_R = 5$  V**  
**Open-circuit-voltage  $V_L = f(E_e)$**   
**SFH 2030 F**



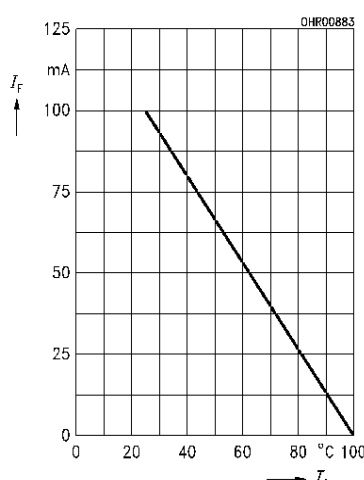
**Directional characteristics  $S_{\text{rel}} = f(\phi)$**



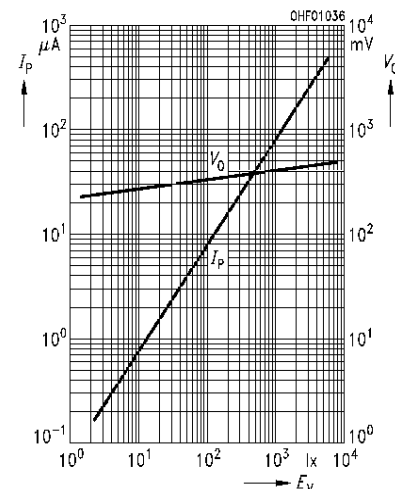
**Relative spectral sensitivity SFH 2030 F**  
 $S_{\text{rel}} = f(\lambda)$



**Total power dissipation  $P_{\text{tot}} = f(T_A)$**



**Photocurrent  $I_P = f(E_V)$ ,  $V_R = 5$  V**  
**Open-circuit-voltage  $V_L = f(E_V)$**   
**SFH 2030**



**Dark current**

$I_R = f(V_R)$ ,  $E = 0$

